

Министерство промышленности и торговли РФ  
Государственная корпорация «Ростех»  
АФК «Система»  
Фонд «Сколково»  
АО «НИИМЭ»  
АО «НИИМА «Прогресс»  
НИУ «МИЭТ»

Генеральный информационный партнер –  
АО «РИЦ «ТЕХНОСФЕРА»

Международный форум «Микроэлектроника-2019»  
5-я Международная научная конференция  
«Электронная компонентная база и микроэлектронные модули».  
Сборник тезисов

Республика Крым,  
г. Алушта, 30 сентября – 05 октября 2019 г.

ТЕХНОСФЕРА

Москва

2019

**УДК 621.3.01/09**

**ББК 38.843**

**M43**

**Международный форум «Микроэлектроника-2019»**

**5-я Международная научная конференция**

**«Электронная компонентная база и микроэлектронные модули».**

**Сборник тезисов**

**Республика Крым, г. Алушта, 30 сентября – 05 октября 2019 г.**

**Москва: ТЕХНОСФЕРА, 2019. – 592 с.**

В выпуск включены тезисы докладов конференции, освещающие актуальные вопросы разработки, производства и применения электронной компонентной базы и электронных модулей.

Из года в год «Микроэлектроника» привлекает все большее число участников, их география расширяется новыми российскими регионами и зарубежными странами. За пять лет работы форума в нем приняло участие 2044 делегата. С момента создания мероприятия прозвучало 963 доклада, участниками события стали 859 компаний.

**Оргкомитет форума выражает благодарность Николаю Сергеевичу Савищеву и Дарье Александровне Шевелевой за большую помощь в подготовке к изданию сборника тезисов.**

© 2019, Компания «ПрофКонференции»

© 2019, АО «НИИМА «Прогресс»

© 2019, Национальный исследовательский университет «МИЭТ»

© 2019, АО «НИИМЭ»

© 2019, АО «РИЦ «ТЕХНОСФЕРА», оригинал-макет, оформление

Рисунки воспроизводятся в том виде, в котором предоставлены авторами.



Представлены результаты исследований адгезионных свойств различных растворов ПАК. Установлена экспериментальная зависимость силы адгезии кремниевых кристаллов от времени жизни четырех ПАК. Результаты получены для кремниевых кристаллов с планарными размерами 5×5 мм и толщиной 0,46 мм при исходном давлении на установке монтажа в 100 г.

Выявлено, что в процессе имидизации некоторых растворов полиамидокислот под кристаллами образуются дефекты. Предположено, что дефекты образуются после второй стадии имидизации (удаления растворителя и летучих продуктов реакции) и зависят от совокупности факторов — типа растворителя в ПАК, режимов имидизации и способов подготовки поверхности кристаллов.

#### *Литература*

- Chen A. Why signal always be loss in a high speed high frequency transmission line / Albert Chen // IPC APEX EXPO conference and Exhibition 2013. — San Diego, USA, 2013. — P. 934–961.
- Advanced Packaging for Implantable Devices [Электронный ресурс]/ Microsemi corporation 2015. — Электронная презентация. — Режим доступа: <https://sem-iengineering.com/embedded-die-packaging-emerges>, свободный, дата обращения (04.08.19).
- Назаров Е. С., Вертянов Д. В. Преимущества технологии внутреннего монтажа при производстве СБИС СнК и GPS/ГЛОНАСС-приемников // Сборник докладов Международной конференции «Микроэлектроника-2015». Интегральные схемы и микроэлектронные модули — проектирование, производство и применение. — М.: ТЕХНОСФЕРА, 2016. — С. 89–95.
- Tyler P. Temporary bonding and the challenge of cleaning post-debond. Phillip Tyler, Kenji Nulman, Michelle Fowler, Seth Molenhour // Chip Scale Review. 2019. № 1. P. 26–30.

УДК 53.043

#### **Исследование механической прочности мембранный структуры Al/SiO<sub>2</sub>/Al**

Дюжев Н. А.<sup>1</sup>, Гусев Е. Э.<sup>\*1</sup>, Дедкова А. А.<sup>1</sup>, Товарнов Д. А.<sup>1</sup>, Белова С. Д.<sup>2</sup>

<sup>1</sup>Национальный исследовательский университет «МИЭТ»

124498, г. Москва, г. Зеленоград, площадь Шокина, 1

<sup>2</sup>ООО «Микрофотоника»

\* [bubbledouble@mail.ru](mailto:bubbledouble@mail.ru)

**Ключевые слова:** механическая прочность, мембранные, тонкие пленки, алюминий, оксид кремния.

#### *Введение*

В настоящее время активно развивается область изделий электроники, включающая в себя мембранные элементы. Например, мембрана является частью анода в рентгеновских источниках пристрельного типа. Размер фокусного пятна и интенсивность рентгеновского излучения увеличиваются с ростом площади мембраны. С другой стороны, механическая прочность структуры снижается. Следовательно,

уменьшается величина избыточного давления, которое может выдержать структура без разрушения. Кроме того, повышается вероятность разрушения мембранны в процессе экспонирования электронами. Поэтому необходимо измерять механическую прочность мембран.

Механические свойства объемных и пленочных материалов различаются [1]. Один из путей повышения механической прочности заключается в переходе от прямоугольной к круглой форме мембранны [2]. Это связано с тем, что разрушение мембранны в большинстве случаев происходит по границе мембранны-подложка. Форма круга обеспечивает значительно меньшие значения упругих деформаций по сравнению с прямоугольной формой мембранны. Значения деформаций равномерно распределены по контуру мембранны и в материале мембранны [2]. К другим факторам повышения механической прочности относят: уменьшение поверхностных дефектов [3], изменение размера зерен структуры [4], легирование материала пленки атомами меди, цинка, марганца, кремния [1].

#### *Изготовление структуры*

Использовали пластину из монокристаллического кремния КДБ12 диаметром 150 мм с кристаллографической ориентацией (100) и толщиной 670 мкм. Была сформирована круглая мембрана на Si-кристалле квадратной формы со стороной 6 мм. Исследуемая мембранныя структура состоит из верхнего слоя Al толщиной 0,8 мкм, диэлектрического соя  $\text{SiO}_2$  толщиной 0,6 мкм и нижнего слоя Al толщиной 1,1 мкм (рис. 1). Пленка алюминия формировалась магнетронным методом из Al-Si-мишени. Слой  $\text{SiO}_2$  был получен методом PECVD. Топология набора мембран представляют собой круг диаметром 1,0 мм и 1,4 мм, расположенный по центру кристалла. В мемbrane отсутствуют концентраторы механических напряжений за счет использования шаблона травления круглой формы.

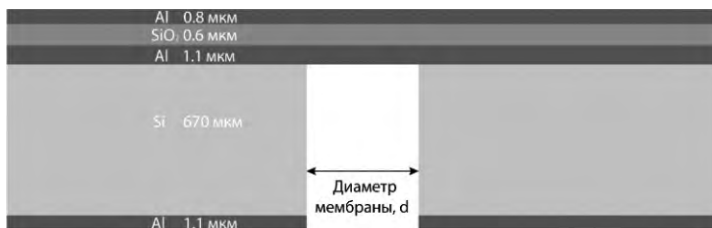


Рис. 1. Исследуемая структура

#### *Аналитический расчет механической прочности структуры*

В процессе анализа литературы были найдены следующие значения механической прочности тонких алюминиевых композитных и монослоев: от 0,04 до 0,08 ГПа в зависимости от размера зерна [4]; 0,2 ГПа при толщине слоя алюминия 373 нм и 0,55 ГПа при толщине 205 нм [5]; 0,6 ГПа при толщине 150 нм [6]; 9,0 ГПа для композитной пленки Al-12,6%Si [3]. В следующих статьях указан диапазон значений механической прочности пленки оксида кремния:  $0,364 \pm 0,57$  ГПа PECVD  $\text{SiO}_2$  толщиной 1,0 мкм [8];  $0,89 \pm 0,07$  ГПа термического  $\text{SiO}_2$  [9]; от 1,2 до 1,9 ГПа PECVD оксида кремния [7]; 8,4 ГПа для нитевидных структур из  $\text{SiO}_2$  [10]. Для дальнейших



расчетов было использовано значение механической прочности алюминия 9,0 ГПа и оксида кремния 8,4 ГПа.

Теоретическое значение механической прочности мембранны  $\sigma$  вычисляется по формуле (1)

$$\sigma = \frac{\sigma_{Al} \cdot h_{Al1} + \sigma_{SiO_2} \cdot h_{SiO_2} + \sigma_{Al} \cdot h_{Al2}}{h_{Al1} + h_{SiO_2} + h_{Al2}}, \quad (1)$$

где  $h_{Al1}$  — толщина нижнего слоя алюминия,  $h_{SiO_2}$  — толщина оксида кремния,  $h_{Al2}$  — толщина верхнего слоя алюминия.

Рассчитанное значение  $\sigma$  составляет 8,85 ГПа. Прогнозируемое значение критического избыточного давления  $P_{np}$  рассчитывают по формуле (2) [1]

$$P_{np} = \frac{\sigma \cdot h^2}{a^2 \cdot B(\mu)}, \quad (2)$$

где  $a$  — радиус мембранны,  $h$  — толщина мембранны,  $B(\mu)$  — коэффициент.

Коэффициент  $B(\mu)$  рассчитывается как  $\frac{3}{4}\sqrt{1+\mu^2}$ . Значение коэффициента Пуассона мембранны  $\mu$  будет равным 0,3. Следовательно, значение коэффициента  $B(\mu)$  составляет 0,78. Таким образом, согласно расчетам по формуле (2), для мембранны радиусом 0,5 мм прогнозируемое значение критического избыточного давления  $P_{np}$  составляет 2,82 атм, для радиуса 0,7 мм — 1,44 атм.

### **Экспериментальное измерение механической прочности**

Для определения механических свойств мембранных элементов был модернизирован ранее разработанный стенд [1]. Избыточное давление подается с магистралей (вместо компрессора). Таким образом, расширен верхний диапазон величины давления до 6,5 атм, увеличена стабильность значения давления в системе.

Были экспериментально определены значения критического избыточного давления на модернизированном стенде. При диаметре 1,0 мм механическая прочность мембранны Al/SiO<sub>2</sub>/Al составляет 5,8±0,4 атм для диаметра 1,0 мм (15 образцов) и 3,8±0,5 атм для диаметра 1,4 мм (18 образцов). Заметно, что полученные результаты обладают высокой воспроизводимостью. Экспериментальное значение механической прочности трехслойной мембранны составляет 18,2 ГПа.

### **Выводы**

Критическое избыточное давление мембранных структур из Al/SiO<sub>2</sub>/Al на кремниевой подложке составляет 5,8±0,4 атм для радиуса 0,5 мм и 3,8±0,5 атм для радиуса 0,7 мм. Полученный результат позволяет использовать данные мембранны в качестве анодов рентгеновских источников прострельного типа с запасом механической прочности в несколько раз. Погрешность между данными аналитического расчета и экспериментальными результатами объясняется эффектом использования набора чередующихся слоев вместо монослоя мембранны, эффектом повышения механической прочности пленок за счет модернизации технологии осаждения, эффектом повышения адгезии между кремниевой подложкой и атомами кремния, присутствующих в нижнем слое алюминия, полученным из Al-Si-мишени магнетронным способом.

**Работы выполнены на оборудовании центра коллективного пользования «Микросистемная техника и электронная компонентная база» НИУ МИЭТ при поддержке Министерства науки и высшего образования Российской Федерации (государственный контракт № 14.578.21.0250, уникальный идентификатор проекта RFMEFI57817X0250), с привлечением центра НТИ МИЭТ «Сенсорика»**

#### **Литература**

1. Gusev E.E., Borisova A.V., Dedkova A.A., Salnikov A.A., Kireev V.Y. The Effect of Ion Beam Etching on Mechanical Strength Multilayer Aluminum Membranes // 2019 IEEE Conference of Russian Young Researchers in Electrical and Electronic Engineering (EICONRUS), DOI:10.1109/eiconrus.2019.8657243.
2. Vlasov A., Civinskaya T. and Shahnov A. Analysis of the influence of the shape of the membrane on the mechanical strength and stability of the parameters of MEMS pressure sensors // MES-2016.
3. Mueller M.G., Fornabaio M., Zagar G., Mortensen A. Microscopic strength of silicon particles in an aluminium-silicon alloy // Acta Materialia, volume 105, 15 February 2016, Pages 165–175, DOI: 10.1016/j.actamat.2015.12.006.
4. Venkatraman Ramnath and Bravman John C. Separation of film thickness and grain boundary strengthening effects in Al thin films on Si // J. Mater. Res., vol. 7, №8, p. 2040–2048, Aug 1992, DOI: <https://doi.org/10.1557/JMR.1992.2040>.
5. Boe A. et al. MEMS-based microstructures for nanomechanical characterization of thin films // Smart Materials and Structures, 18 (2009) 115018 (8pp), DOI: 10.1088/0964-1726/18/11/115018.
6. Microfabrication-based nanomechanical laboratory for testing the ductility of sub-micron aluminium films // Microelectronic Engineering, vol. 84, issue 11, November 2007, p. 2714–2718, DOI: 10.1016/j.mee.2007.05.039.
7. Toshiyuki Tsuchiya, Atsuko Inoue, Jiro Sakata, Tensile testing of insulating thin films; humidity effect on tensile strength of SiO<sub>2</sub> films // Sensors and Actuators, 2000, vol. 82, p. 286–290.
8. Sharpe W.N. et al. Strain Measurements of Silicon Dioxide Microspecimens by Digital Imaging Processing // Experimental Mechanics, 2007, DOI 10.1007/s11340-006-9010-z.
9. Jinling Yang, Fracture Properties of LPCVD Silicon Nitride and Thermally Grown Silicon Oxide Thin Films From the Load-Deflection of Long Si<sub>3</sub>N<sub>4</sub> and SiO<sub>2</sub>/Si<sub>3</sub>N<sub>4</sub> Diaphragms // Journal of Microelectromechanical Systems. Vol. 17, № 5, october 2008.
10. Petersen K. Silicon as Mechanical Materials // Proceedings of the IEEE, 1982, vol. 70, issue 5, pp. 420–457.

**УДК 544.6.076**

#### **Планарный электрохимический магнитогидродинамический акселерометр**

**Дудкин П. В.<sup>1,2</sup>, Жевненко Д. А.<sup>1,2,3</sup>, Горнев Е. С.<sup>3</sup>, Криштоп Т. В.<sup>2</sup>,  
Криштоп В. Г.<sup>2,4</sup>**

<sup>1</sup> *Московский физико-технический институт*

*(национальный исследовательский университет)*

*141701, Московская обл., г. Долгопрудный, Институтский пер., 9*